

Guiando energía por debajo del límite de difracción

Guía de ondas plasmónicas de nano-partículas

Resumen de:

**Local detection of electromagnetic energy transport below the diffraction limit
in metal nanoparticle plasmon waveguides**
S.A. Maier, Pieter G. Kik, H.A. Atwater, S. Meltzer, E. Harel, B.E. Koel & Ari A.G. Requicha
Nature Materials 2 (2003) 229-232

Presentación para la materia Nano-óptica

Víctor A. Bettachini

28 de Octubre de 2010

¿Por que el interés?

IEEE Communications Magazine • June 2010

PLASMONICS FOR INTERCONNECTS

nanoelectronics. Initially, plasmonics was mainly focused on passive routing of light in waveguides with dimensions much smaller than the wavelength of the light. However, as the propagation length in such high-confinement SPP waveguides is limited to a few tens of micrometers, they have not been considered as a better substitute for high-index dielectric waveguides. It is important to note that the size of dielectric waveguides is limited by the fundamental laws of diffraction, which are orders of magnitude larger than the electronic devices on a chip. Plasmonic devices and their sub-wavelength dimensions are uniquely capable of reconciling this mismatch in size, bridging dielectric microphotronics and nanoelectronics. Plasmonic devices such as nanoscale lasers, modulators, and detectors offer the potential to generate, modulate, and detect optical signals while transporting them at the speed of photons through the same thin metal circuitry.



Circuitos que transporten “luz”

Guiar energía con confinamiento lateral por debajo del límite de difracción de la luz
→ circuitos ópticos.

Antes de este paper

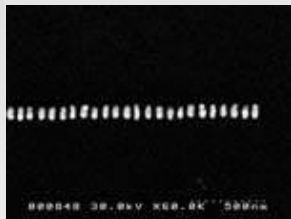
- Simulaciones numéricas indicaron que era posible.
- Se habían observado las excitaciones colectivas.
- No había evidencia directa de transporte a través de las guías de ondas plasmónicas.

Este trabajo

- Observación de transporte: desde una fuente sub- λ hasta un detector a una distancia de $\approx 0,5 \mu\text{m}$ a través de una guía de onda conformada por barras de Ag densamente espaciadas.
- La excitación se realiza a través de una punta de SNOM, y el sentido con nano-esferas fluorescentes.

- En régimen de μ -ondas: Observación de acoplamiento de campo cercano entre modos plasmón superficial-polaritón de nano-partículas metálicas adyacentes
- Simulaciones numéricas en régimen sub- μm : es posible el transporte en guías plasmónicas de nano-partículas
- Arreglos 2D nano-partículas de Au o Ag: espectroscopía de campo lejano confirmaron interacciones (sub- μm)
- Arreglos 1D de Au: $\Delta E_{\text{resonancia}} \Rightarrow$ permitió estimar $\omega = \omega k$ y longitud de atenuación ($\approx 6\text{dB}$ cada 30nm)
- i.e. de esferoides de Ag: atenuación $\approx 6\text{dB}$ cada 250nm , suficiente para detectar transporte a través de excitación local.

Arreglo 1D: cada guía



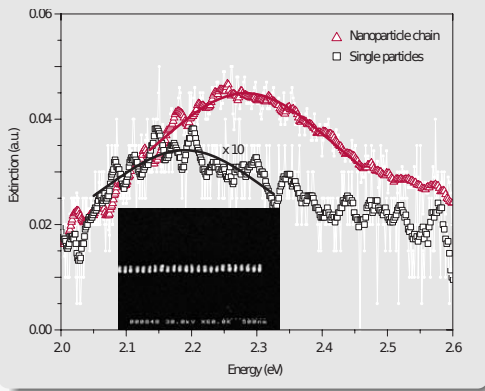
- Barras Ag ($90 \times 30 \times 30 \text{ nm}$) cada 50nm
- Fabricadas mediante lift-off: litografía con haz de e^- + deposición + limpiado
- sustrato sobre cuarzo recubierto ITO
- Eje largo barra \perp eje guía $\Rightarrow \uparrow$ acople

Arreglo 2D

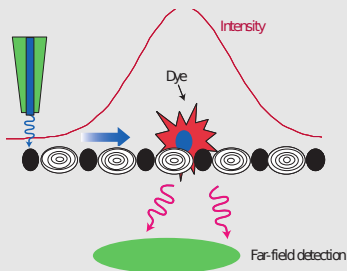


- Red ($a_0 = 1 \mu\text{m}$) de 100×100 guías
- Despreciable interacción entre guías
- \uparrow SNR espectrometría de campo lejano \Rightarrow sensado resonancia de las guías

Excitación: partículas únicas vs guías de onda



- Luz blanca, polarizada \perp guía de ondas \Rightarrow excitación colectiva
- Δ pico de resonancia ~ 100 MeV partículas únicas / red de guías
- Simulaciones numéricas del transporte: atenuación 6dB en 200nm (max)

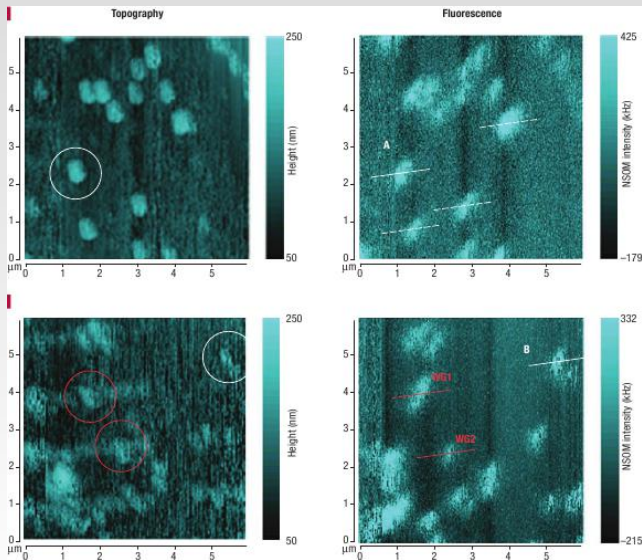


Detección de transporte de energía

- 1 punta de SNOM → resonancia partícula
 - 2 la excitación se propaga por la guía
 - 3 alcanza la esfera fluorescente
- Excitación local: punta SNOM 570nm
 - Sensores: nano-esfera de poliestireno rellenas de moléculas fluorescentes ($\varnothing \simeq 110\text{nm}$) emisión 610nm (max)

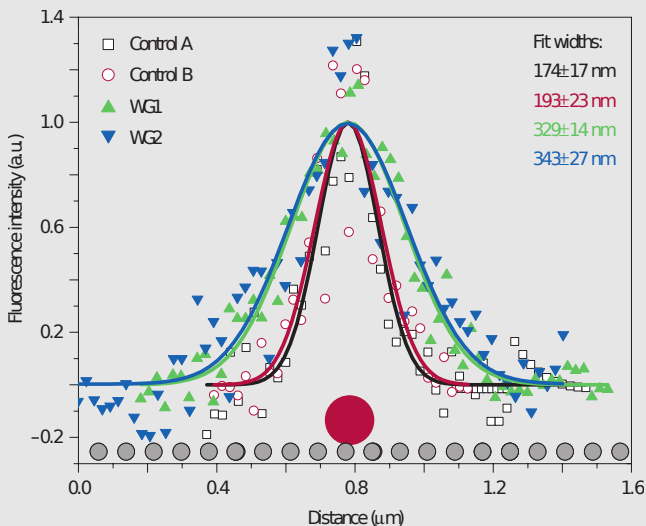
Observación de ensanchamiento del foco luminoso de la nano-esfera adosada a la guía respecto a la de una nano-esfera libre.

topografía y SNOM de nano-esferas libres y adosadas a guías



- Barrido SNOM a distancia constante
- Círculos grises: nano-esferas libres
- rojos: adosadas a guías
- En próxima gráfica: cortes || guías

Comparación focos de nano-esferas libres y adosadas a guías



- Ajustes Gaussianos de cortes \parallel guías
- Ensanchamiento promedio (FWHM): $151 \pm 48\text{nm}$
- Ensanchamiento \perp guías: despreciable \Rightarrow evidencia de transporte

Fluorescencia distinguible del ruido, distancia de la punta

nano-esfera libre: 200nm

nano-esfera adosada: 500nm

Longitud de decaimiento, de ajuste $> 200\text{nm}$ de la nano-esfera (excitación a través de la guía domina sobre la excitación directa)

6dB en $195 \pm 28\text{nm}$

Buen acuerdo con la predicción de la teoría: 200nm

Para resumir

El guiado de luz por debajo del límite de difracción es posible.
Pero hoy día el alcance es insuficiente para uso industrial.